

Измерение радиоизлучения космических частиц в движении к Луне
и регистрация нейтрино КЛУВЭ с помощью радиодетекторов на орбите Луны
влияние атмосферы и гравитации на радиодетекторы

УДК 537.591.15

ГИБРИДНЫЙ МЕТОД РЕГИСТРАЦИИ КАСКАДОВ ОТ КОСМИЧЕСКИХ ЧАСТИЦ УЛЬТРАВЫСОКИХ ЭНЕРГИЙ С ПОМОЩЬЮ ОКОЛОЛУННОГО СПУТНИКА

В. И. Галкин¹, Г. А. Гусев, И. А. Кроль, Б. Н. Ломоносов, Н. Г. Полухина,
Т. М. Роганова¹, В. А. Рябов, В. А. Царев, В. А. Чечин

Предлагается гибридный метод регистрации каскадов космических лучей и нейтрино с использованием радио-метода и традиционного метода регистрации каскадных частиц. Проводятся расчеты каскадов, рождаемых в лунном грунте вблизи поверхности космическими лучами и нейтрино ультравысоких энергий в области энергий 1 ГэВ – 100 ТэВ, приходящими сверху под разными углами. Рассчитанные энергетические и угловые распределения экстраполируются в область энергий 10^{20} эВ. С использованием этих результатов оценивается порог регистрации, он оказывается на уровне 10^{20} эВ, что приблизенно совпадает с порогом для радиодетектора, рассмотренного ранее авторами.

1. В ряде работ (см., например, [1, 2]) обсуждается проект эксперимента ЛОРД по регистрации радиометодом, с борта окололунных спутников, каскадов, рождаемых вблизи лунной поверхности космическими лучами и нейтрино ультравысоких энергий (КЛУВЭ и НУВЭ). В этой связи представляет интерес рассмотрение возможности одновременной регистрации подобных каскадов также традиционными ядерно-физическими методами [3]. В качестве детекторов могут быть использованы различные детекторы, способные регистрировать каскадные частицы (фотоны, электроны, позитроны) с энергиями от

¹ НИИЯФ МГУ им. Д. В. Скobelьцына.

сотни КэВ. В данной работе мы не будем обсуждать выбор конкретного типа подобных детекторов каскадных частиц (ДКЧ), равно как и проблему отделения каскадных частиц от фона космических лучей низких энергий. Эти вопросы будут рассмотрены в последующей публикации. Целью данной работы является оценка плотности потока, а также энергетических и угловых распределений каскадных частиц на орбите окололунного спутника. Эти данные позволят оценить принципиальную возможность регистрации сигнала от каскада с помощью ДКЧ, помещенного на окололунном спутнике и, таким образом, реализации схемы "гибридного" детектирования сигналов от КЛУВЭ и НУВЭ. Суть ее состоит в регистрации совпадения сигналов черенковского радиоизлучения от каскадов с сигналами от каскадных частиц, выходящих из приповерхностного слоя реголита (см. рис. 1). Такая ситуация может иметь место для каскадов высоких энергий, которые, из-за большого сечения взаимодействия, рождаются на очень малых глубинах (типовично менее метра). В этом случае часть каскадных частиц может выходить из среды, достигать детектора на спутнике, и может быть зарегистрирована специальным детектором фотонов или электронов и позитронов. Одновременная регистрация двух сигналов (радио и ДКЧ) и могла бы составить очень существенное достоинство метода, обеспечивая высокоэффективный способ подавления фонов и уверенный отбор полезных событий, обусловленных взаимодействием КЛУВЭ и НУВЭ с реголитом.

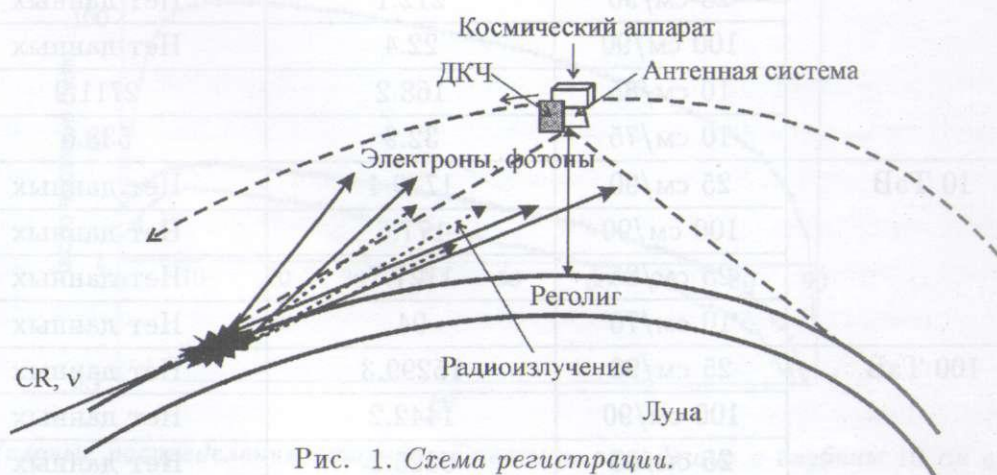


Рис. 1. Схема регистрации.

2. Результаты моделирования. КЛУВЭ и НУВЭ, взаимодействующие с лунным реголитом, рождают в нем каскады вторичных частиц [4, 5], причем часть каскадных частиц покидает лунный грунт и свободно распространяется в космическом пространстве. В настоящее время, в силу технических причин, мы не имеем возможности

моделировать каскады от частиц очень больших энергий, поэтому мы проводим моделирование для доступных энергий (на интервале 1 ГэВ – 100 ТэВ) и затем экстраполируем результаты в область очень больших энергий. Для расчета распределений частиц, выходящих из лунного грунта, использован пакет GEANT 3.21 [6–9]. Поверхностная часть реголита была аппроксимирована однородным прямоугольным параллелепипедом с соответствующим химическим составом (средняя атомная масса 27.7, средний заряд 13.5) и плотностью (1.17 г/см³). Слой вакуума над реголитом также был представлен прямоугольным параллелепипедом. На реголит падали первичные протоны с энергиями от 1 ГэВ до 100 ТэВ с зенитными углами от 70 до 90 градусов. Ливни от горизонтальных протонов (зенитный угол 90 градусов) рассматривались на глубинах от 0.1 до 5 м от поверхности. Вторичные частицы (электроны, позитроны и гамма-кванты), выходящие из реголита в вакуум, запоминались для дальнейшего анализа.

Таблица

Число вторичных частиц при разных параметрах каскада

Энергия каскада	Глубина/угол	Число электронов	Число гамма-квантов
1 ТэВ	1 см/90	1439.2	6788.8
	10 см/90	537.4	6037.4
	25 см/90	212.1	Нет данных
	100 см/90	22.4	Нет данных
	10 см/85	168.2	2711.9
	10 см/75	32.9	538.6
10 ТэВ	25 см/90	1770.4	Нет данных
	100 см/90	177.6	Нет данных
	25 см/85	1127.7	Нет данных
	10 см/70	94	Нет данных
100 ТэВ	25 см/90	15299.3	Нет данных
	100 см/90	1442.2	Нет данных
	25 см/85	8025.2	Нет данных

На рис. 2 и 3 приведены энергетические спектры и угловые распределения выходящих с глубины 10 см вторичных частиц в горизонтальном ливне от протона с энергией 1 ТэВ (угол θ отсчитывается от оси каскада). В таблице приведено число вторичных частиц, выходящих из реголита, от ливней указанной энергии и геометрии.

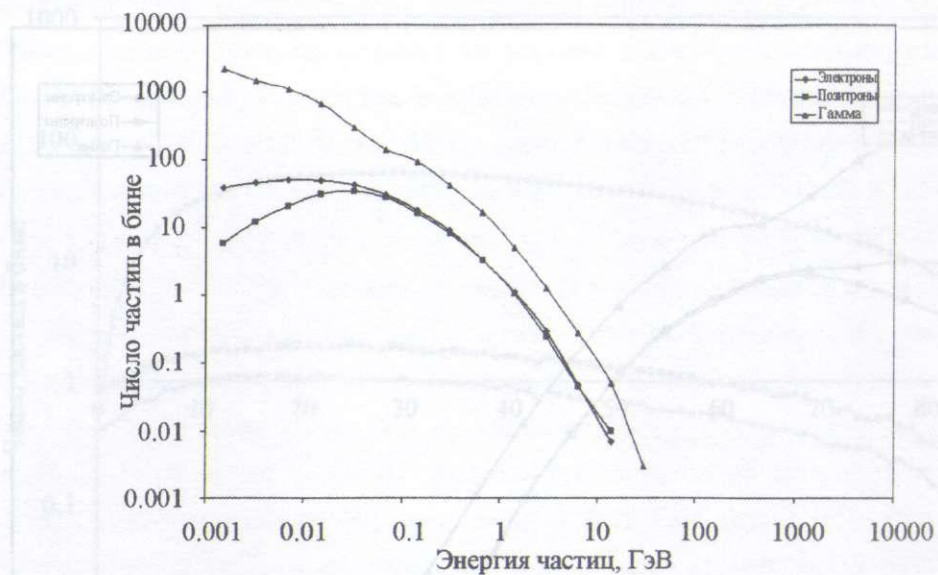


Рис. 2. Энергетические спектры вторичных частиц, выходящих с глубины 10 см, в горизонтальном ливне от протона с энергией 1 ТэВ.

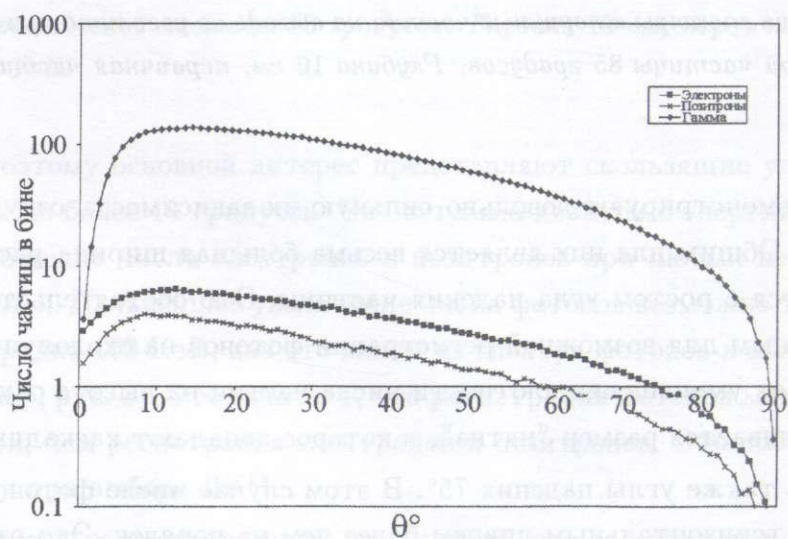


Рис. 3. Угловые распределения вторичных частиц, выходящих с глубины 10 см в горизонтальном ливне от протона 1 ТэВ.

Сравнение рис. 2 и 4 показывает, что имеется довольно сильная зависимость числа вылетающих вторичных частиц от угла падения первичной частицы. Угловые распределения для фотонов (см. рис. 3 и 5), которые в дальнейшем нас будут, в основном, ин-

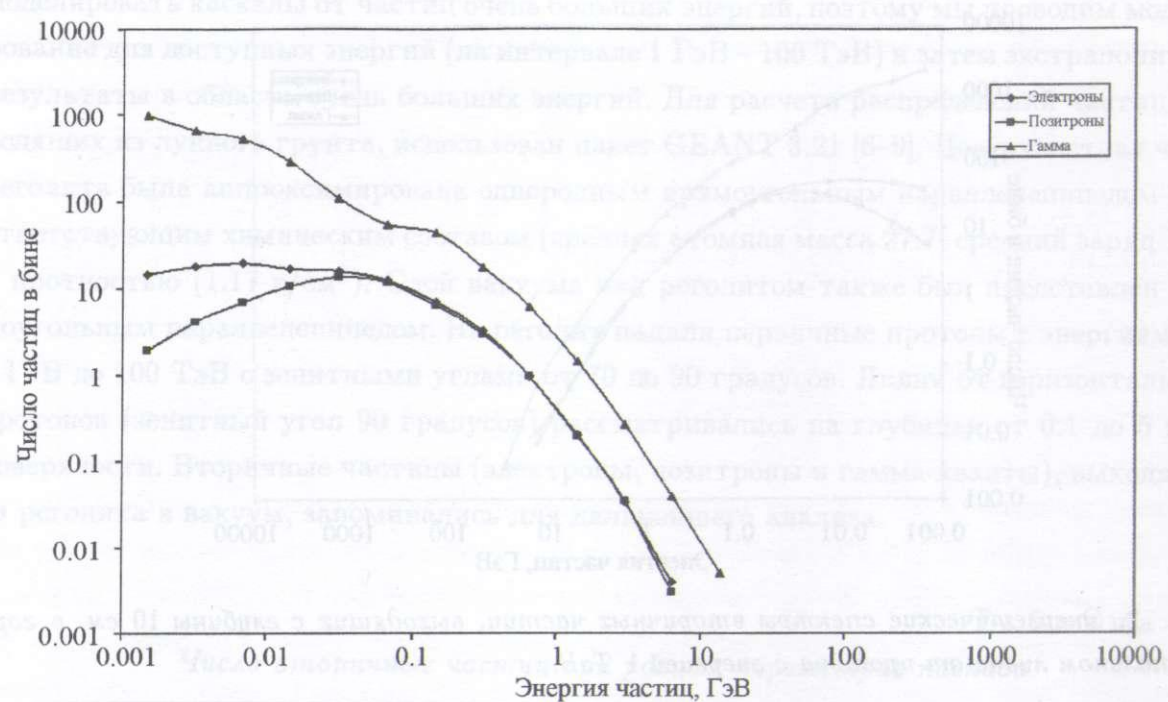


Рис. 4. Энергетические спектры вторичных частиц на выходе из реголита при угле падения первичной космической частицы 85 градусов. Глубина 10 см, первичная частица – протон с энергией 1 ТэВ.

тересовать, также демонстрируют довольно сильную их зависимость от угла падения первичной частицы. Общим для них является весьма большая ширина распределения, которая увеличивается с ростом угла падения частицы. Это обстоятельство является не очень благоприятным для возможной регистрации фотонов на окололунном спутнике, поскольку означает уменьшение плотности числа частиц на высоте спутника, хотя одновременно увеличивается размер “ пятна”, в которое попадают каскадные частицы.

Рассматривались также углы падения 75° . В этом случае число фотонов уменьшается по сравнению с горизонтальным ливнем более чем на порядок. Это означает, что при малой общей статистике регистрации КЛУВЭ, ливни с углами падения более 75° регистрироваться практически не будут.

3. Анализ возможности регистрации вторичных частиц. Анализ результатов моделирования показывает, что число электронов и фотонов растет с первичной энергией E_0 примерно как E_0^S , где $S < 1$, причем S составляет 0.9 для горизонтальных ливней, 0.84 для ливней с зенитным углом 85 градусов и 0.5 для ливней с зенитным углом 75

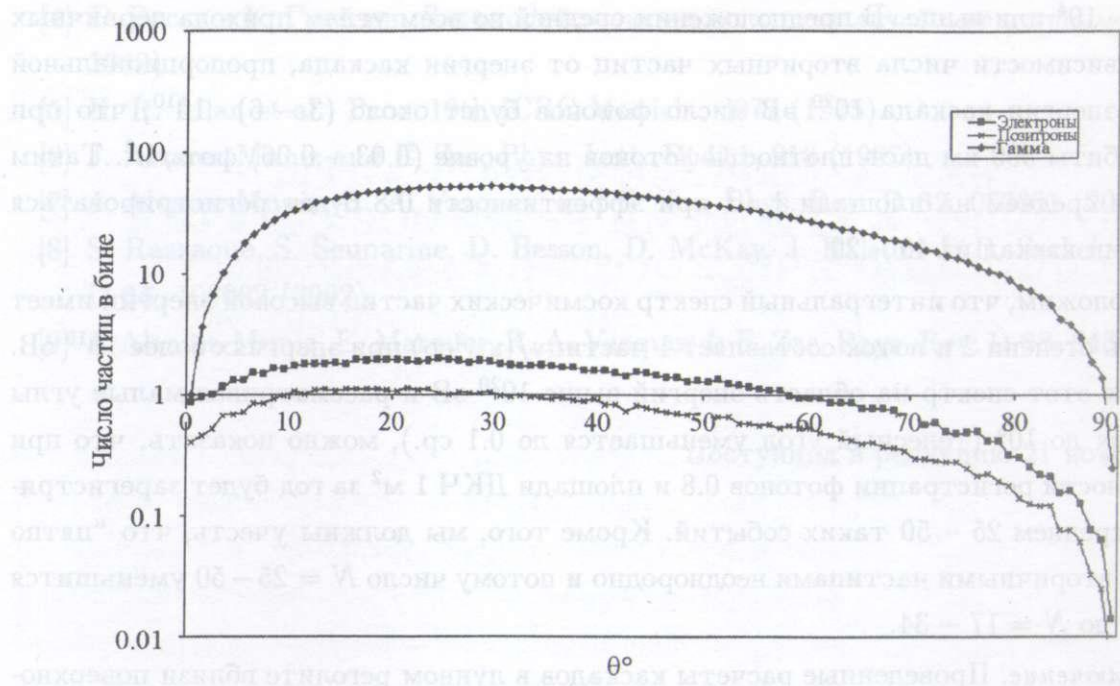


Рис. 5. Угловые распределения вторичных частиц на выходе из реголита при угле падения первичной космической частицы 85 градусов. Глубина 10 см, первичная частица – протон с энергией 1 ТэВ.

На рисунке 5 видно, что для углов падения от 0 до 40 градусов числа частиц в бине с шириной 10 градусов различаются в десятки раз. Поэтому интерес представляют скользящие углы падения первичной частицы не более 10 градусов. Число гамма-квантов с энергиями 2 МэВ примерно в 40-50 раз больше числа электронов и позитронов при любых первичных энергиях и зенитных углах. Дальнейшее увеличение числа фотонов возможно также при переходе к энергиям порядка 100 КэВ, как это видно из спектра фотонов в области энергий 2 МэВ (см., например, рис. 2). Это означает, что регистрация фотонов может быть более предпочтительной, чем регистрация электронов и позитронов. Это обстоятельство следует иметь в виду при выборе ДКЧ.

Анализ угловых распределений показывает, что вылетающие частицы по уровню 0.5 на высоте спутника около 500 км покрывают площадь порядка 10^6 км^2 или, то же самое, спутник “видит” каскады с этой площади на поверхности Луны. Для более надежных оценок необходимо иметь результаты моделирования выхода вторичных частиц в области энергий порядка 100 КэВ. При экстраполяции кривой на рис. 2 для числа фотонов от каскада с энергией 1 ТэВ в область энергий вторичных частиц порядка 100 КэВ можно получить, что число фотонов с энергией порядка 100 КэВ будет на уров-

не $10^4 - 2 \cdot 10^4$ или выше. В предположении средней по всем углам прихода первичных частиц зависимости числа вторичных частиц от энергии каскада, пропорциональной $E^{0.8}$, для энергии каскада 10^{20} эВ число фотонов будет около $(3 - 6) \cdot 10^{10}$, что при высоте орбиты 500 км даст плотность фотонов на уровне $(0.03 - 0.06)$ фот./ м^2 . Таким образом, в среднем на площади 1 м^2 при эффективности 0.8 будет регистрироваться только один каскад из $40 - 20$.

Предположим, что интегральный спектр космических частиц высокой энергии имеет показатель степени 2 и поток составляет 1 частицу/ $(\text{км}^2 \text{ср})$ при энергиях более 10^{19} эВ. Продолжая этот спектр на область энергий выше 10^{20} эВ и рассматривая малые углы скольжения до 10° (телесный угол уменьшается до 0.1 ср.), можно показать, что при эффективности регистрации фотонов 0.8 и площади ДКЧ 1 м^2 за год будет зарегистрировано в среднем $25 - 50$ таких событий. Кроме того, мы должны учесть, что " пятно засветки" вторичными частицами неоднородно и потому число $N = 25 - 50$ уменьшится в среднем до $N = 17 - 34$.

4. Заключение. Проведенные расчеты каскадов в лунном реголите вблизи поверхности Луны позволяют сделать приближенные оценки плотности потоков вторичных частиц (электронов, позитронов и фотонов) на орбите окололунного спутника. Для этого проведена экстраполяция результатов выполненных расчетов из области относительно малых энергий 10^{14} эВ в область ультравысоких энергий до 10^{20} эВ. Это позволило сделать предварительный вывод о возможности регистрации на спутнике Луны каскадных частиц сравнительно небольшим ДКЧ с площадью $\sim 1 \text{ м}^2$. Порог регистрации при таком методе может составлять величину $W_{\text{th}} = 10^{20}$ эВ, что практически совпадает с порогом радиодетектирования в эксперименте ЛОРД. Статистика регистрации таких событий будет порядка 10 в год.

Работа поддержана грантом РФФИ N 08-02-00515-а.

ЛИТЕРАТУРА

- [1] Г. А. Гусев, Б. Н. Ломоносов, К. М. Пичхадзе и др., Доклады РАН **406**(3), 327(2006).
- [2] Г. А. Гусев, Б. Н. Ломоносов, К. М. Пичхадзе и др., Космические исследования **44**(1), 22 (2006).
- [3] В. И. Калашникова, М. С. Козодоев, *Детекторы элементарных частиц* (М., Наука, 1966).

- [4] Б. Росси и К. Грейзен, *Взаимодействие космических лучей с веществом* (М., Мир, 1948).
- [5] H. R. Allan et al., Proc. 19th ICRC Munich., 3077 (1975).
- [6] J. Alvarez-Muniz and E. Zas, Phys. Lett. **B 411**, 218 (1997).
- [7] J. Alvarez-Muniz, R. A. Vazquez, and E. Zas, Phys. Rev. D **62**, 063001 (2000).
- [8] S. Razzaque, S. Seunarine, D. Besson, D. McKay, J. Ralston & D. Seckel, Phys. Rev. D **65**, 103002 (2002).
- [9] J. Alvarez-Muniz, E. Marques, R. A. Vazquez & E. Zas, Phys. Rev. D **68**, 043001 (2003).

Поступила в редакцию 21 ноября 2008 г.

ЛИСТЫ